

Settler에 있어서의 液液相分離

韓 能 源*

Liquid-liquid Phase Separation in the Settler

Neung-won Han

Dept. of Chem. Eng., Chon-nam University

Abstract

With highly pure liquid-liquid systems, the phase separation process of temporary emulsion is studied. The process could be summarized in a separation diagram composed of settling, accumulation and coalescence curves.

The agitator speed to form emulsion has little effect on the phase separation of the emulsion because of quick drop to drop coalescence at the beginning of separation. Larger volume fraction of the dispersed phase allows more rapid coalescence and the separation time for a given height of emulsion is nearly constant as the phase ratio varies.

1. 緒 論

Mixer-settler는 두 설비나 운전이 간단하며 効率이 높다는 長點이 있어서 推出을 위시한 많은 液液系操作에 사용되고 있다. 이 操作은 먼저 교반조에서 한 液相을 다른 液相中에 분산시켜 이른바 一時乳化液상태를 유지시켜준 다음 이를 settler에서 파괴시켜 각相을 分離回收하는 것이다. 그런던 이때 settler에서의 相分離의 難易는 操作의 効率에 적지 않은 영향을 미친다. (1) 장치사용의 適否를 결정하는 중요한 因子로 되고 있다. 그럼에도 불구하고 교반조의 교반에 관한 문제에 대하여는 많은 研究가 되어 있는데 反하여 settler의 相分離에 관한 研究는 극히 박연하며 단편적인 것 밖에 찾기 불 수 없다.

Meissner⁽²⁾ 등은 不安定乳化液의 파괴현상에 있어서의 몇 가지 사실들을 發見하고 특히 그의 파괴촉진을 위해서는 分散相의 용적比를 증가시키는 것이 有効하다 하였다. Rodger⁽³⁾ 등은 液液分散條件와 생성되는 界面積과의 관계를 연구함에 있어서 分散體의 相分離시

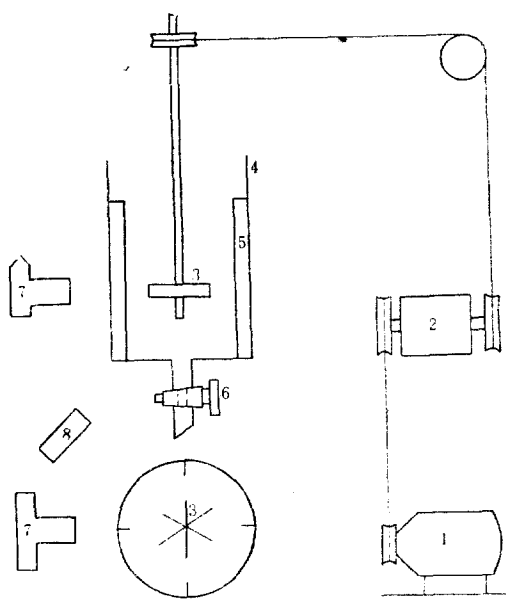
간과 界面積과의 관련성을 구하려 하였으나 실패에 그쳤다. Ryon⁽⁴⁾ 등은 연속 settler의 scale up에 대하여 몇 가지 資料를 發表하였고 이외로는 몇몇 단편적인 관리연구들이 있을뿐이다. (5)(6)(7)

一時乳化液의 자연파괴에 의한 相分離는 分散, 연속兩相間의 밀도差 및 重力에 의한 分散液滴의 이동과液滴相互間의合一及液滴의 파괴 등 일련의 복잡한 과정으로 이루어진다. 여기에는 각相의 物性, 乳化液의 分散상태, settler의 材質 및 形태 등등 많은 因子들이 관여되며 특히 실제操作에 있어서 混入이 불가지한 汚染物質의 存在는 界面現象에 극히 예민하게 작용하여 相分離에 重大한 영향을 미친다.

本研究는 効率의 settler 설계를 목적으로 하여 먼저 非污染液液系의 回分式 相分離過程을 定量的으로 파악하였고 몇 가지 관련因子들의 영향을 조사한 것이다.

2. 實驗裝置 및 方法

교반조는 內徑 98mm인 유리탱크이며 stainless steel製 표준형 baffle을 장치하였다. 탱크의 底面中央에는



1. Motor
2. Variable speed pulley
3. Agitator
4. Mixing Tank
5. Baffle
6. Teflon cock
7. Camera
8. Strobe

Fig. 1. The experimental apparatus

排出口가 있으며 콕크는 teflon 製(그리스無用)이다. 교반기는 6枚平板패들형이고 패들의 길이는 탱크내경의 1/2이며 폭은 10mm이다. 교반축이나 패들도 모두 stainless steel 製이다. settler로서는 別個의 용기를 사용치 않고 교반조에서 교반을 그친 후 바로 相分離가 되도록 하였다. 즉 교반조로서 settler를 겸하였다. 別途의 settler를 사용하면 교반조로부터 옮기는 도중에 상당한 변화가 일어남으로 定量的實驗으로는 적당치 않다.

실험은 해당 液液系를 교반조에 교반조내경과 거의 같은 10cm 높이 만큼 넣고 교반기를 액체의 中心部에 위치하도록 한다음 회전시킨다. 회전속도는 變速機에서 조절하여 그 속도는 회전계로서 제었다. 實驗에 있어서는 汚染物質의 混入防止에 極力 주의하였다. 液體와 접촉하는 모든 장치나 器具類는 먼저 洗剤로서 씻고 重크롬산가리黃酸용액에 2시간以上 담갔다가 충분한 량의 수돗물 및 증류수로 씻었다. 사용된 有機溶劑類는 모두 試藥特級品이며 물은 새로 만든 증류수를 사용하였다. 各液液系는 미리 충분히 相互 飽和시켜 사용하되 飽和靜置後의 兩相의 界面部分은 버렸다. 汚染物質은 界面으로 모이기 때문이다. 또 實驗中 테이타의 再現性은 수시로 조사하였으며 再現성이 나타나

지 않을 때는 새로운 試料를 사용하였다.

사진은 55mm 렌즈카메라에 接寫環(Asahi Pentax)을 장착하여 촬영하였다. 照明은 1/2,000 초 strobe에 적당한 半透明板을 부쳐 光量을 조절하였다. 物性測定에 있어 밀도는 比重計를 사용하였으며 粘度는 Ostwald의 粘度計에 의하였고 界面張力은 Harkins의 液滴法에 의하여 측정하였다.

3. 實驗結果 및 考察

a. 相分離의 過程 및 分離線圖

Settler에서의 相分離 即 一時乳化液의 自然적 과정은 먼저 分散液滴들이 연속相液體中에서 그의 밀도차이에 따라 上昇 또는 下降을 함으로서 시작된다. 分散液滴들은 또한 교반정지 직후부터 相互 충돌에 의한 合一을 이르켜 급속히 成長하여간다. 그리하여 乳化液의 一端에는 液滴이 積積되어 液滴層이 형성되며 他端에는 맑은 연속相액체가 나타난다. 液滴層은 그중의 모든 액체들이 서로 접해져 있는 상태이며 따라서 액체층內에서의 액체의 合一도 활발히 일어난다. 액체층內의 액체들은 그 크기가 서로 같지 않고 형태도 球形으로부터 상당히 변형되어 있어서 分散相의 容積 %는 Ostwald의 74.02% 보다 훨씬 큰 90%內外로 되고 있다. 액체층은 그 一端에서는 液滴의 積積이 어느期間 동안 계속되며 他端에서는 액체들이 파괴되어 分散액체이 드디어 연속액체状으로 되어간다. 이렇게하여 결국엔 液滴層이 소멸되며 이로서 一次分離(primary break)가 끝난다.

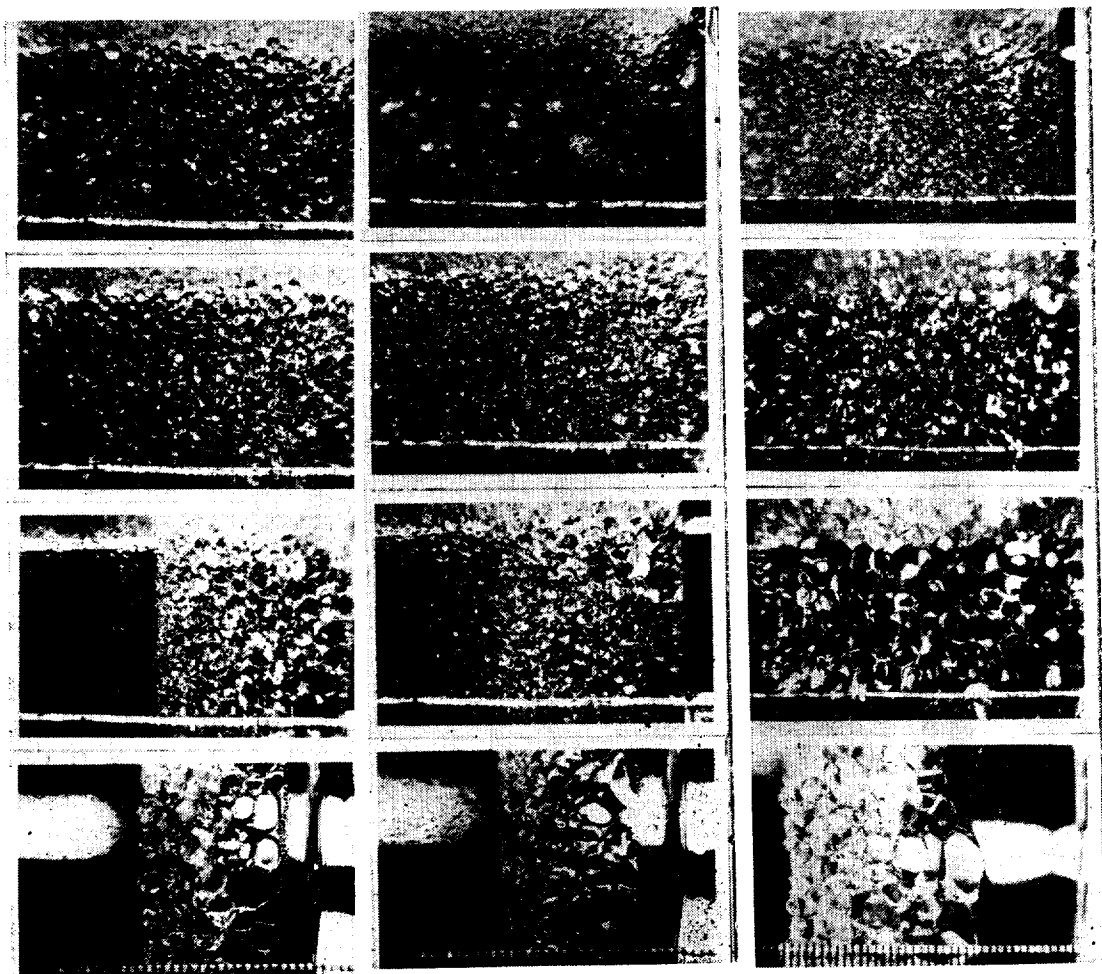
以上的 相分離과정에 있어서 settler內의 諸狀態를 時間의으로 나타낸 것을 分離線圖(Separation diagram)라 이른다.

그림 3의 分離線圖에서 (I)은 乳化液狀이다. (II)는 液滴層이며 (III)은 分離되어 맑아진 連續相액체이다. (IV)는 액체층의 破滴으로 생성된 分散相液이다. (III)과 (IV)에는 一次分離完了後에도 서로 상대相의 微滴들이 entrainment로 남아 있다. 이는 二次分離로서 解거된다. (II)와 (IV)의 경계선은 液滴의 파괴를 나타내며 이를 破滴線(Coalescence curve)으로 한다. 破滴線의 모양은 해당 液液系에 따라 다르며 일반적으로 경사가 완단한 초기期間(a-b)과 終末期間(c-d)이 있고 그 사이에 定速期間(b-c)이 있게 된다. (I)과 (II)와의 경계선은 액체의 積積을 나타내며 積積線(Accumulation curve)이라 한다. 積積線은 分散相의 容積分率이 를 수록 차차 不明確하게 된다. (I)과 (III)과의 경계선은 移動液滴群의 끝端을 나타내며沈降線(Settling curve)이다.

Fig. 2 a

Fig. 2 b

Fig. 2 c

Fig. 2-a Separation of benzene/water dispersion $\phi_D=0.2$, $N=320\text{rpm}$, from up to down, agitation 2sec, 5sec,

12sec

Fig. 2-b Separation of benzene/water dispersion $\phi_D=0.2$ $N=700\text{rpm}$, from up to down agitation 2sec, 5sec,

12sec.

Fig. 2-c Separation of benzene/water dispersion, $\phi_D=0.4$, $N=480\text{rpm}$, from left, agitation, 2sec, 5sec, 12sec

相分離速度를 최종적으로 지배하는 것은 액적의 파
괴속도 即 액적층의 소멸속도이다. 액적층의 소멸속도
는 分離線圖의 破滴線의 기울기로서 나타난다.

b. 相分離에 대한 搅拌速度의 영향

液液攪拌時의 교반속도는 分散液滴의 크기에決定的
영향을 미친다. 그런데 교반정지 후의 相分離에는 별
영향이 없다. 그럼 5에서 보면 均一교반이 되었다고
볼 수 있는 교반속도 250rpm 으로부터 550rpm 정도에
이르도록 分離時間에 거의 變化가 나타나지 않는다.

또 그림 6을 보면 교반속도는 그후의 分離과정에도 영
향이 없음을 알 수 있다. 단지 600rpm 이상으로 교반
하면 오히려 分離시간이 단축된 결과가 나왔는데 이것은
은 實驗장치의 성능상 高速교반일 때는 空氣混入을 이
르렀기 때문으로 본다. 即 교반중混入되는 空氣의一部
가 液滴 속에 氣泡로서 남게 되어 이것이 settling이나
coalescence를 촉진한 결과이다. 지속교반時人爲的으로
空氣를混入시켜도 같은結果가 나타난다. 따라서 空氣混入은 相分離를 촉진시키기 위한 方法으로

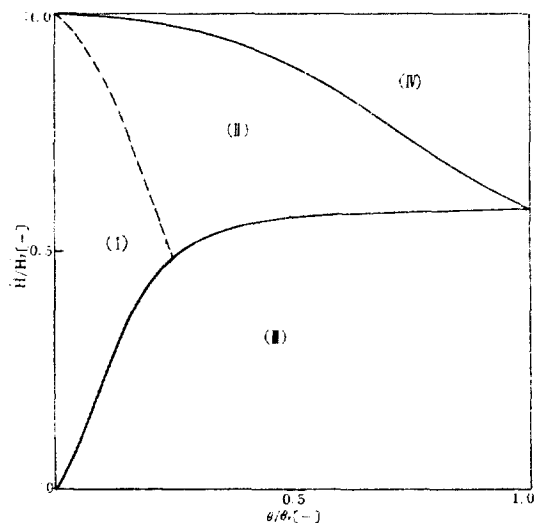


Fig. 3 Separation diagram, benzene/water. $\phi_D=0.4$
 $N=450\text{rpm}$, $H_T=10\text{cm}$, $\theta_T=19\text{sec}$

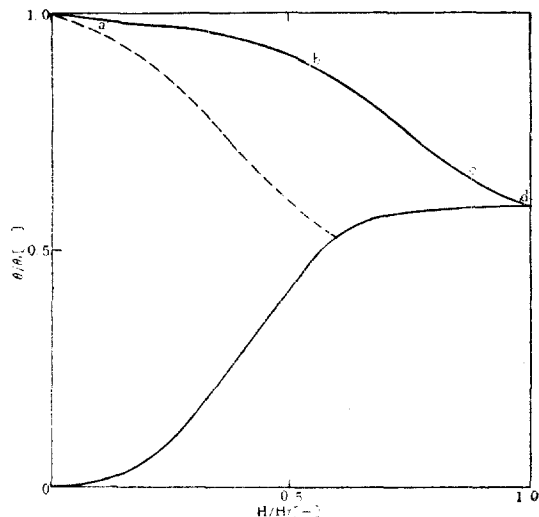


Fig. 4 Separation diagram, ethyl acetate/water.
 $\phi_D=0.4$ $N=450\text{rpm}$, $H_T=10\text{cm}$, $\theta_T=9.5\text{sec}$.

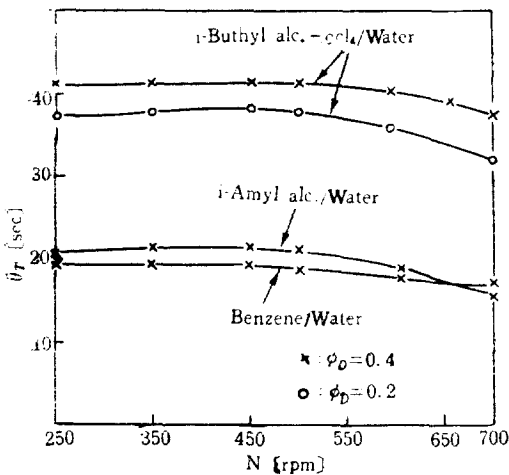


Fig. 5 Agitator speed vs. separation time

사용될 수 있을 것이다.

相分離에 교반속도의 영향이 나타나지 않는다는 것은 相分離開始點에서의 分散液滴의 크기가 相分離에 대하여 아무意義가 없다는 것을 뜻한다. 그 원인은 다음과 같이 생각할 수 있다. 即 相分離의 開始直後부터 分散액滴들은 相互충돌合一되어 短時間안에 成長하여 버린다. 이때 成長速度는 微小액滴이 多數 있을수록 다시 말하면 교반속도가 클수록 빨라져서 교반속도의 영향이 상쇄되어 버린다. 그림 2-a와 그림 2-b를 비교하여 보면 교반정지후 2초에서 벌써 그 차이가 없

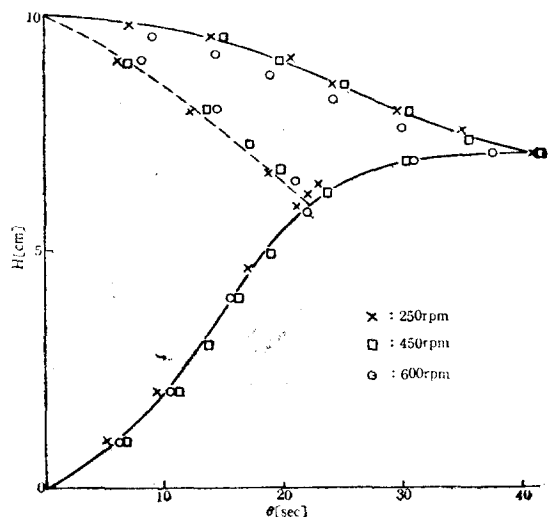


Fig. 6 Effect of agitator speed to separation, *i*-Butyl AlC-CCl₄/water, $\phi_D=0.3$

어짐을 알 수 있다.

물론 이러한 현상은 非污染液系에 限한다. 界面污染性物質이 存在할 때는 액적의 合一速度가 複雑 느려지고 따라서 전체 分離時間이 길어질 뿐 아니고 교반속도의 영향이 크게 나타난다. 相分離時間에 대한 교반속도의 영향 有無로서 해당액滴의 汚染與否를 판별하는 기준으로 삼을 수 있다. 非污染液液系에 있어서는 교반開始로부터 分散液滴의合一, 分散의 平衡에 도달할 때까지의 시간도 짧아서 1~2분 정도의 교반으로 足하였다.

c. 分散相의 容積分率(ϕ_D)와 相分離速度

一定한 높이의 乳化液의 相分離時間은 그중의 ϕ_D 의 크기에 관계없이 거의 一定하다(그림 7). 따라서 그림 8과 같이 ϕ_D 가 증수록 破濺速度가 커진다. 그림 9

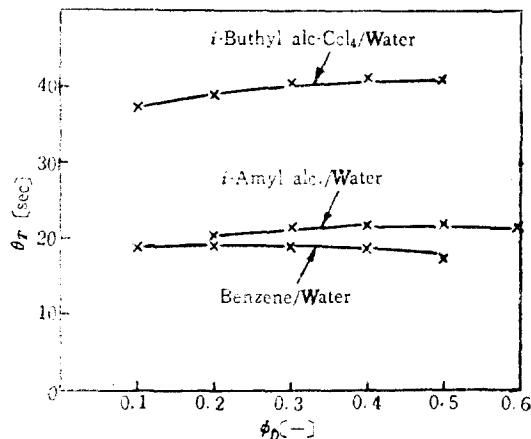


Fig. 7 Effect of ϕ_D to separation time, $N=450\text{rpm}$, $H_T=10\text{cm}$

는 破濺總의 定速期間에 있어서의 기울기 即 定速破濺速度와 ϕ_D 와의 관계이다. 여기에서

$$-\left(\frac{dH}{d\theta}\right) \cdot \frac{1}{\phi_D} = \text{const}$$

인 관계가 얻어진다. 이것은 分散液量이 많을수록 合

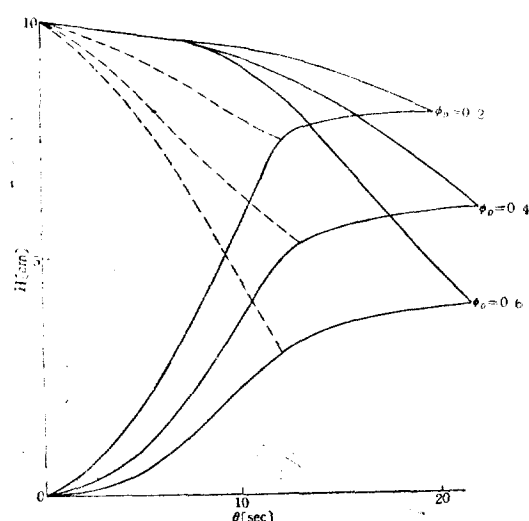


Fig. 8 Effect ϕ_D to separation diagram, $i\text{-Amyl alc.}/\text{water}$, $N=450\text{rpm}$

→ 成長이 빨라지는結果 때문이며 그림 2-a 와 2-c 를 비교하여 보면 알 수 있다. ϕ_D 가 0.5에 가까울수

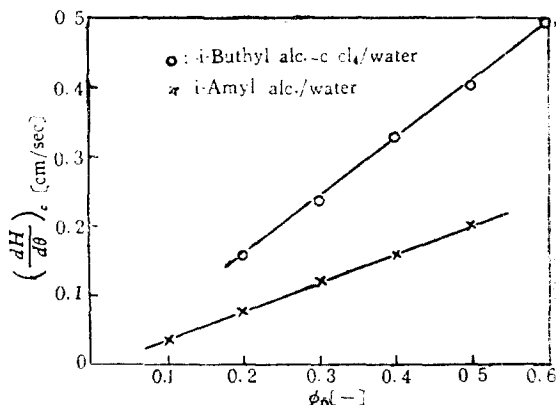


Fig. 9 Constant coalescenc erate vs. ϕ_D , $N=450\text{rpm}$

록 一次分離後의 兩相에 있어서 entrainment가 적어지는 것은 Meissner 등에 의해서 發見된 것과 같다.

Table 1. Physical properties of systems and separation time at $\phi_D=0.4$

System	$\Delta\rho$	μ_C c. p.	μ_D c. p.	σ_i dyne/cm	θ_T sec
i-Butyl alc.-Ccl ₄ /Water	0.148	1.3382	3.3196	2.744	41.0
i-Amyl alc./Water	0.169	1.0620	3.7020	5.692	21.7
Ethyl acetate/Water	0.095	1.1880	0.4812	6.370	9.5
MIBK/Water	0.194	1.0212	0.6066	10.616	7.7
Benzene/Water	0.128	0.8027	0.5745	34.318	19.0
Tetralin/Water	0.030	0.9734	2.0763	36.800	150

d. 物性과 相分離速度

相分離速度에 관련되는 液液系의 物性으로서는 兩相間의 밀도差, 兩相의 粘度 및 界面張力を 들 수 있다. 이들이 相分離速度에 미치는 영향에 관하여는 아직 定量的인 관계에 이르기 못하였으므로 몇몇 실험치만을 表 1에 나타낸다.

4. 結 言

액의攪拌으로 생성되는 一時乳化液의 settler에서의 相分離과정을 分離線圖의 형식으로 나타내었으며 分離線圖는 스리리의沈降曲線과 비슷한 모양으로 된다. 相分離에 있어서의 가장 중요한 과정은 液滴層의 과정이다.

액의分散時の 교반속도는 均一 혼합이 이루어지며 空氣나 汚染物質의混入이 없는限 相分離에 거의 영향을 주지 않는다. 分散相의 容積分率이 증가하면 그에 正比例하여 液滴層의 과정 속도가 커지고 그結果 全體相分離時間은 兩相의 容積比에 관계없이 거의 一定하게 된다.

記

本研究를 지도하여준 東京工大의 藤田, 早川兩教授
에게 감사드린다.

Nomenclature

- H : Height, cm.
- H_t : Total Height of dispersion, cm.
- N : Agitator speed, rpm.
- θ : Duration time, sec.
- θ_T : Total separation time, sec.
- ϕ_D : Volume fraction of dispersed phase.
- μ_C, μ_D : Viscosity of continuous phase and dispersed phase, respectively, c.p.
- $\Delta\rho$: Density difference
- σ_i : Interfacial tension
- A/B : A in B dispersion

Literatures

- 1) C. A. Sleicher, Jr., *A. I. Ch. E. Journal*, **6**, 529 (1960)
- 2) H. P. Meissner and B. Chertow, *Ind. Eng. Chem.*, **38**, 856 (1946)
- 3) W. A. Rodger, V. G. Trice, and J. H. Rushton, *Chem. Eng. Progr.*, **52**, 515 (1956)
- 4) A. D. Ryon, F. L. Daley, and R. S. Lowrie, *Chem. Eng. Progr.*, **55**, 70 (1959)
- 5) T. Gillespie and Eric K. Rideal, *Trans. Faraday Soc.*, **52**, 173 (1956)
- 6) H. Groothuis and F. J. Zuiderweg, *Chem. Eng. Sci.*, **19**, 63 (1964)
- 7) S. Gondo, K. Hisatomi, K. Kusunoki, I. Nakamori, *Kagaku Kogaku*, **32**, 923 (1968)